



FOTO N° 9445

Panorámica desde lo alto del cerro Cabeza Almagrera, hacia el NO. Fm primer plano capas cuarcíticas del Ordovicico inferior buzando al SE y restos de las labores de explotación de mineral de Fe el indicio estratoide nº 8 (hoja Cabeza del Buey nº 806). Al fondo, Sierras de la terminación occidental del Sinclinal de Almadén. En medio la penillanura tallada sobre los materiales del Precámbrico Superior.



FOTO N° 9446

Panorámica de Cabeza del Buey y de las Sierras ordovícicas al S del pueblo.

FOTO Nº 9447

Conglomerado de la base del Ordovícico en la ladera Norte del cerro Cabeza Almagarera.





FOTO N° 9448

Cerro del Cabezo. Cuarcitas y microconglomerados del Ordovícico inferior.



FOTO N° 9449

Marcas de corriente en la base de capas arenosas turbidíticas del Precámbrico Superior.

FOTO N° 9450

Nivel desorganizado con
cantos blandos pelíticos
y abundante matriz arenosa,
intercalado en las alternancias
pelítico-arenosas turbidíticas
del Precámbrico Superior.



FOTO N° 9451

Capas arenosas granoclasificadas
y con cantos blandos pelíticos
dispersos del Precámbrico Superior.





FOTO N° 9452

Niveles desorganizados con cantos blandos pelíticos y matriz arenosa. Intercalado en facies turbidíticas del Precámbrico superior.



FOTO N° 9453

Alternancias pelítico-arenosas del Precámbrico superior, laminación cruzada en el centro y granoclasificaciones en las capas centimétricas arenosas en la parte alta.



FOTO N° 9454

Precambrico superior. Zona de cizalla. Pelitas desorganizadas con cantos dispersos que han sufrido una intensa deformación a favor de los planos de esquistosidad previos que ha estirado los cantos dando sombras de presión.

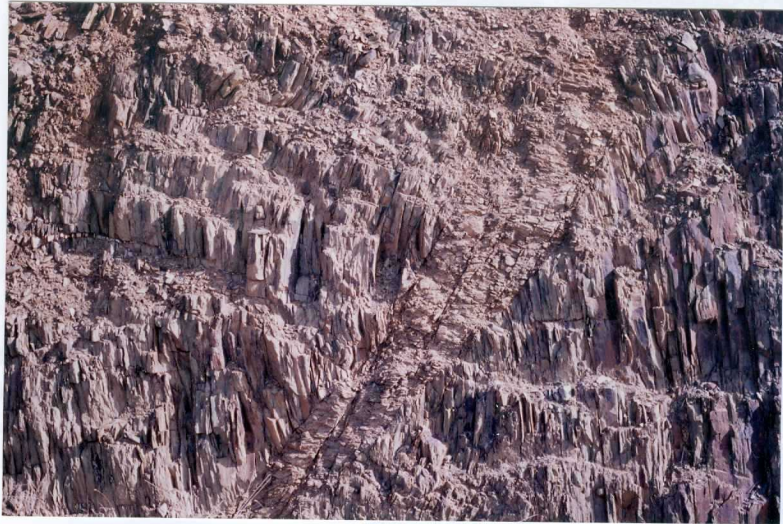


FOTO N° 9455

Falla directa de dirección NO-SE con el plano de falla buzando al NE. Afecta a materiales pelíticos y arenosos del Precámbrico Superior. Carretera Orellana-Castuera.



FOTO N° 9456

Kink-bands afectando a materiales pelíticos del Precámbrico superior. Los planos axiales buzan al NE y son paralelos a unas fallas directas de dirección NO-SE con las que posiblemente estén relacionadas. Carretera Castuera-Orellana.

Pliegues hercínicos
Plegues hercínicos de alternancias

FOTO N° 9457

Pliegues hercínicos reapretados
afectando a alternancias pelítico-
arenosas cruce del Precámbrico
Superior. Carretera Castuera-Orellana.





FOTO N° 9458

Pliegues hercínicos reapretados
en los materiales del Precámbrico
superior. Carretea Castuera-Orellana.

FOTO N° 9459

Facies listadas de alternancias
centimétricas de pelitas y areniscas
de grano fino del Precámbrico Superior.
Techo a la izquierda. Carretera
Castuera-Orellana C-413.



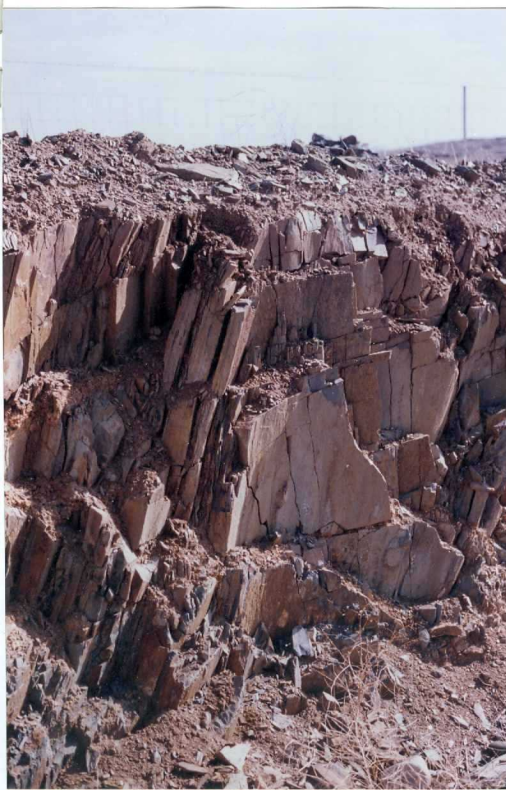


FOTO N° 9460

Pliegues de eje subvertical que afectan a la estratificación y a la esquistosidad hercínica en materiales del Precámbrico Superior Carretera Castuera-Orellana.



FOTO N° 9461

Capas arenosas con características turbidíticas y delgadas intercalaciones pelíticas del Precámbrico superior. Techo a la derecha. Carretera de Castuera-Orellana.

FOTO N° 9462

Dique básico intruido en los materiales del Precámbrico Superior. Es subparalelo a la estratificación y a la esquistosidad.
Carretera Orellana-Castuera.

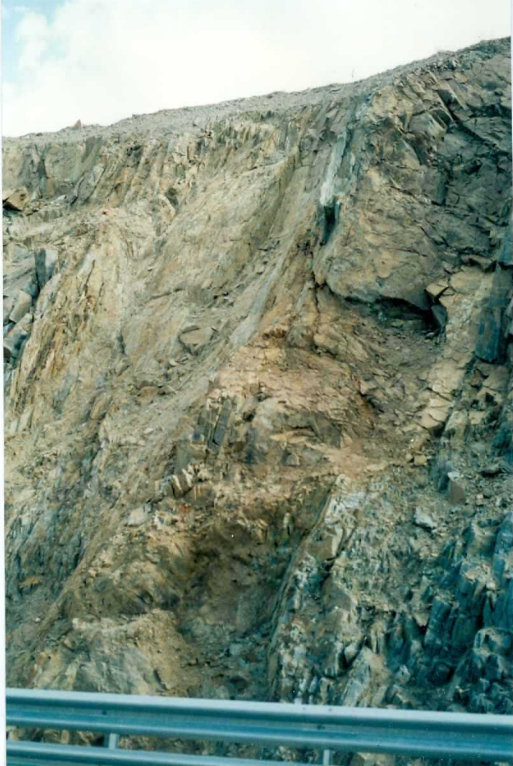


FOTO N° 9463

Pliegues angulosos en alternancias
cms de pelitas y areniscas de grano
fino del Precámbrico superior. Son
de 1^a fase hercínica. Carretera
Castuera-Orellana.





FOTO N° 9464

Pliegue de 1^a fase hercínica en
los materiales pelítico-arenosos
del Precámbrico Superior.

Esquistosidad de plano axial.

Eje buzando hacia el SE. Carretera
Castuera-Orellana.



FOTO N° 9465

Pelitas grises con intercalaciones cms de areniscas de grano fino del Precámbrico Superior. Techo a la derecha. Esquistosidad subvertical Km 351 del FFCC Badajoz-Puertollano.

Puertollano.

FOTO N° 9466

Paraconglomerado similar al de
la foto n° 9467.





FOTO N° 9467

Paraconglomerado con cantos de cuarzo, cuarcita, areniscas, lutitas y algo de rocas ígneas porfidicas. Matriz pelitica abundante. Son depósitos desorganizados de "debris flow". Precámbrico Superior. En la vía del FFCC Badajoz-Puertollano km. 351.



FOTO N° 9468

Precambrico Superior. Techo a la derecha. Sucesión de capas arenosas con delgadas intercalaciones pelíticas. Son capas turbidíticas son organización secuencial claros.



FOTO N° 9469

Alternancia de areniscas en capas decimétricas y alternancias centimétricas de pelitas y areniscas de grano fino. Precámbrico Superior. Techo a la derecha Km 351 de la vía del FFCC Badajoz-Puertollano.

FOTO N° 9470

Areniscas de grano fino y limolitas con laminación paralela y cruzada de "ripples" de bajo ángulo.

Precámbrico Superior. Techo normal a la derecha Km 351 de la vía del FFCC Badajoz-Puertollano.





FOTO N° 9471

Pliegues cortados por la esquistosidad de 1^a fase hercínica. Pelitas con intercalaciones arenosas del Precámbrico Superior. En el talud del FFCC Badajoz-Puertollano Km 331.



FOTO N° 9472

Alineación de lentejones cuarcíticos a favor de grandes fracturas de dirección E-O. Los lentejones encajan en materiales precámbricos y la estratificación dentro de los lentejones buza hacia la derecha. En las proximidades de la ermita de la Virgen de Belén desde los Peñones del Quintillo.



FOTO N° 9473

Sierra de Tiros con el castillo de Almorchon a la izquierda, desde los peñones del Quintillo.



FOTO N° 9474

Aspecto de uno de los lentejones cuarcíticos encajados entre fallas en la parte meridional de la hoja. La estratificación buza suavemente a la izquierda y está fuertemente tectonizado.

FOTO N° 9475

Pliegues de 1^a fase hercínica en
los materiales pelítico-arenosos
del Precámbrico Superior.

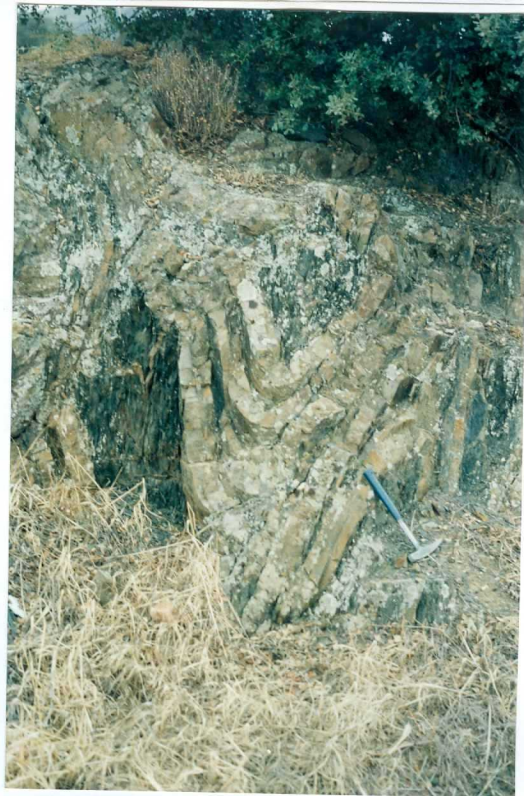




FOTO N° 9476

Cerro Cabeza Almalfiera. Cuarcitas y conglomerados Ordovícicos. Visto desde el Norte.

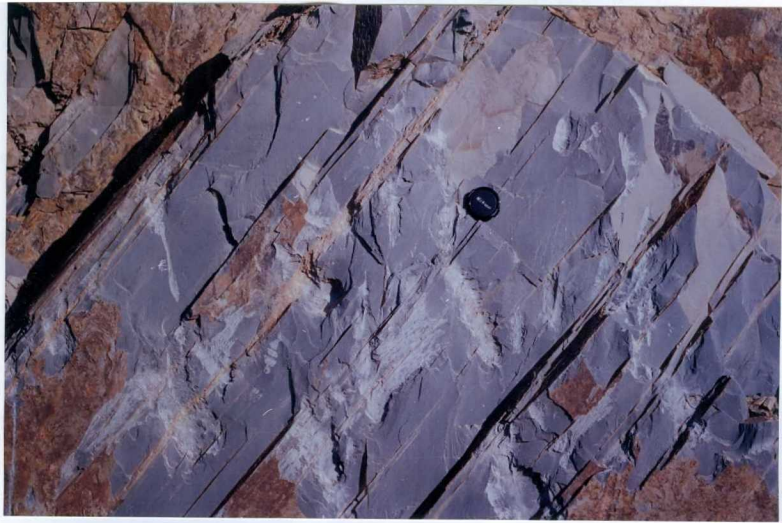


FOTO N° 9477

Pelitas grises y negras con intercalaciones milimétricas de arena fina laminadas del Precámbrico Superior. Techo a la derecha. Alteraciones pardo rojizas de las láminas arenosas. Carretera Castuera-Orellana.



FOTO N° 9597

Detalle de granodiorita biotítica al sur de Benquerencia de la Sierra.

FOTO N° 9598

Vista parcial del contacto entre granodioritas y cantos y bloques cuarcíticos (glacis) al sur de Benquerencia de la Sierra.



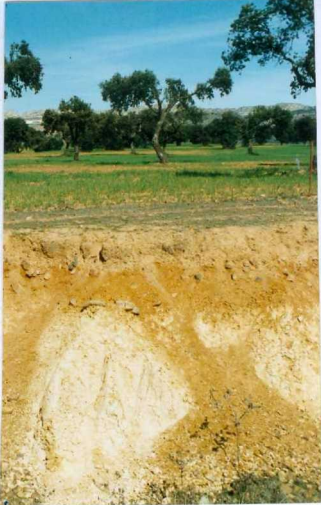
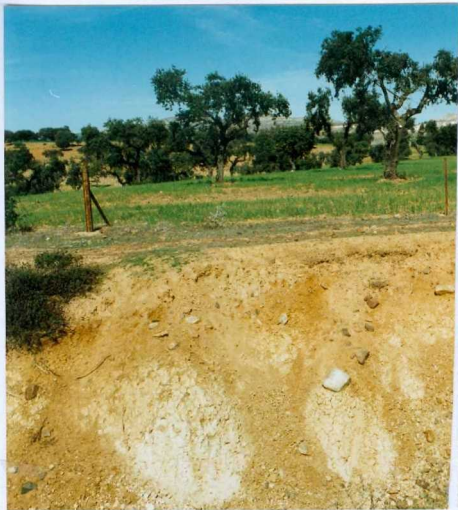


FOTO N° 9599

Panorámica de la superficie del glacis al sur de Benquerencia de la Sierra.

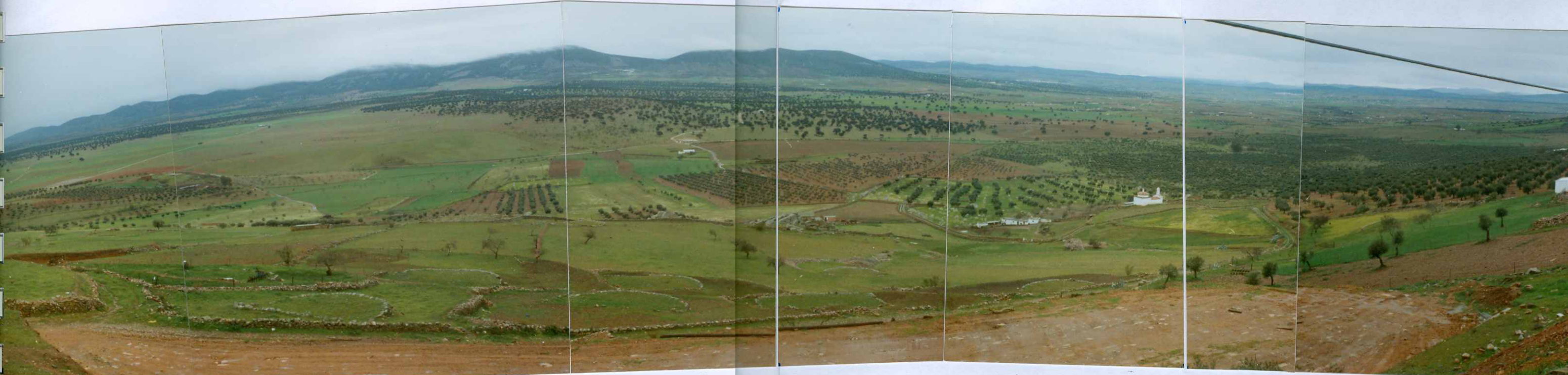


FOTO N° 9600

Panorámica desde Benquerencia de la Sierra hacia el Sur. Depósitos de glacis sobre las granodioritas y leucogranitos.



FOTO N° 9601

Panorámica del frente cuarcítico del Ordovícico Inf. al N de la localidad de Benquencia de la Sierra. En primer plano cuarcitas del Ordovícico Medio.



FOTO N° 9602

Panorámica en el borde SE de la Hoja. En primer plano, pizarras de las facies Column.
Los primeros relieves con árboles, corresponden al Devónico y los relieves del fondo a la
cuarcita armónica del Ordovícico Inf. de las Sierras del Calvario y Vacas.



FOTO N° 9603

Panorámica en el borde SE de la Hoja. En primer plano, pizarras de la facies Culmn sedimentos cuaternarios sobre relieves del Devónico, y al fondo, cuarcita armoricana de



FOTO N° 9604

Panorámica del área SE de la Hoja. A la izquierda, relieves del Devónico con recubrimiento, y a la derecha, cuarcita armoricana de las Sierras de la Rusneda y Oca.



FOTO N° 9605

Panorámica hacia el E, desde el Puerto de la Nava. A la izquierda, relieves de cuarcitas del Ordovícico Inferior de las Sierras del Aliso y Vacas y a la derecha distintos tramos de la serie silúrico-devónico.